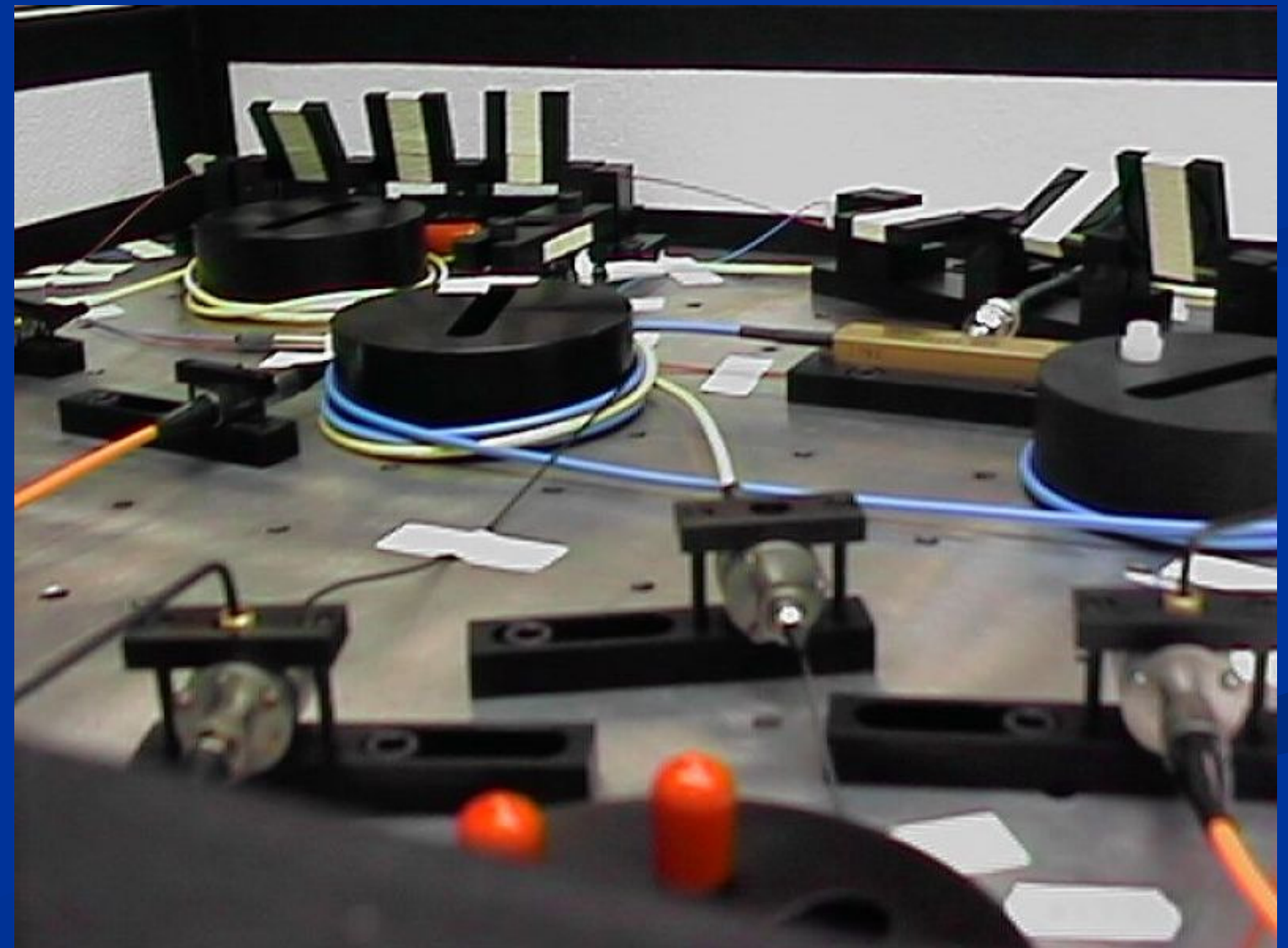
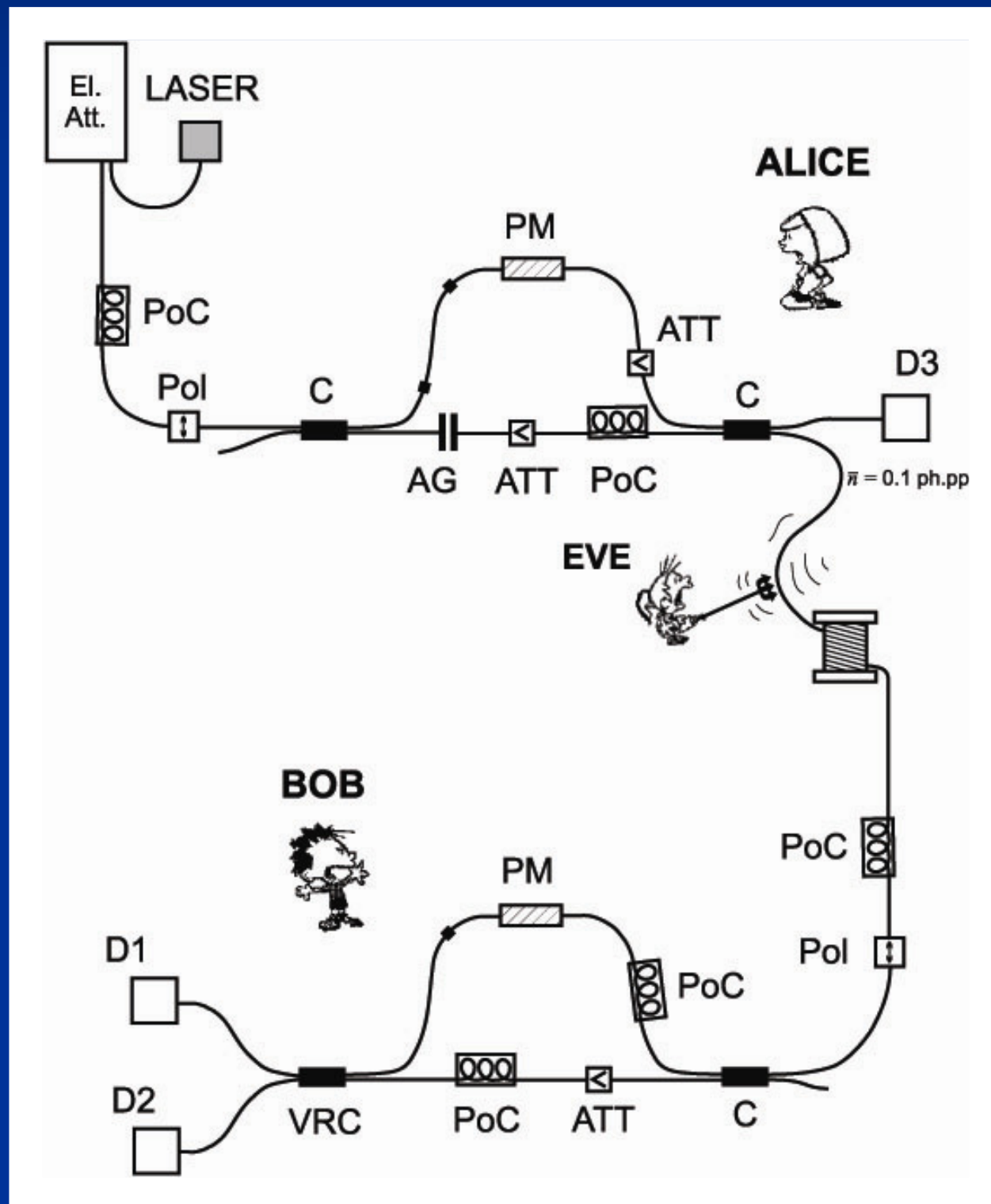


Kvantový identifikační systém

M. Dušek, O. Haderka, M. Hendrych, R. Myška, Phys. Rev. A 60,149 (1999).

Využití kvantové distribuce klíče pro vzájemnou identifikaci



Přímé měření překryvu kvantových stavů

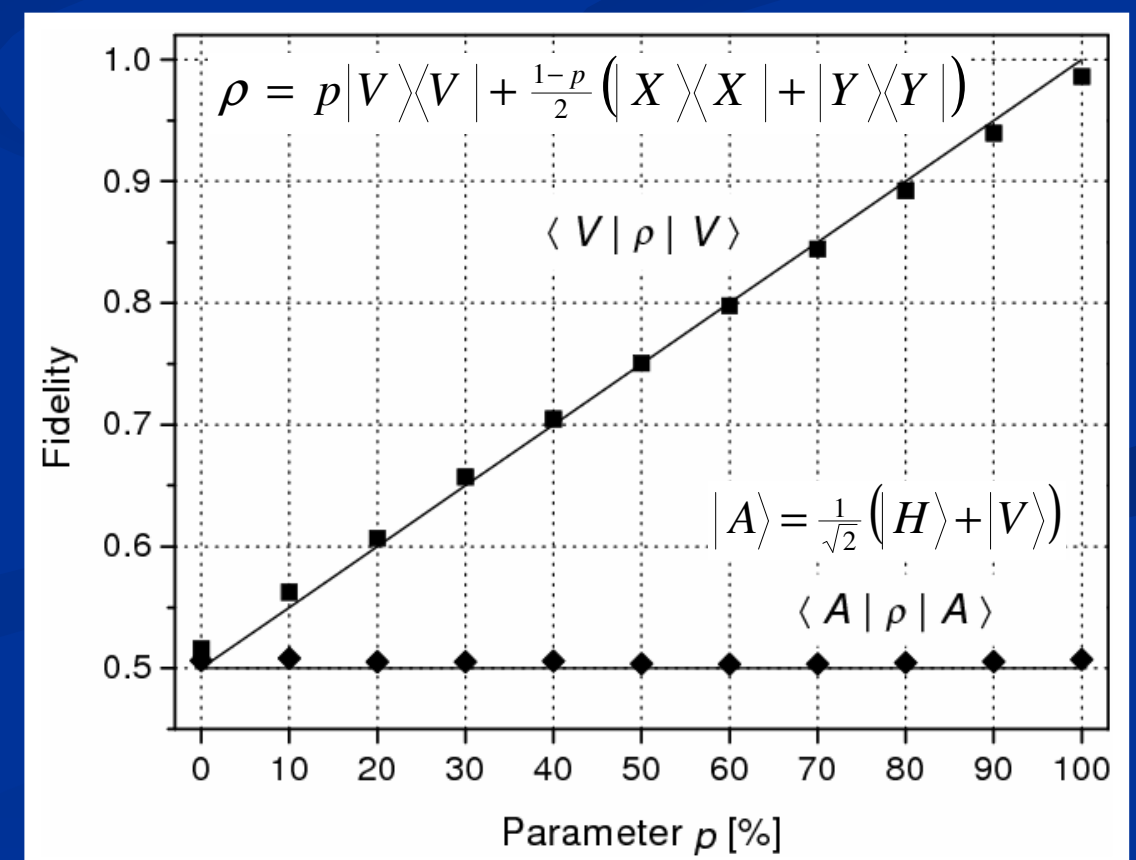
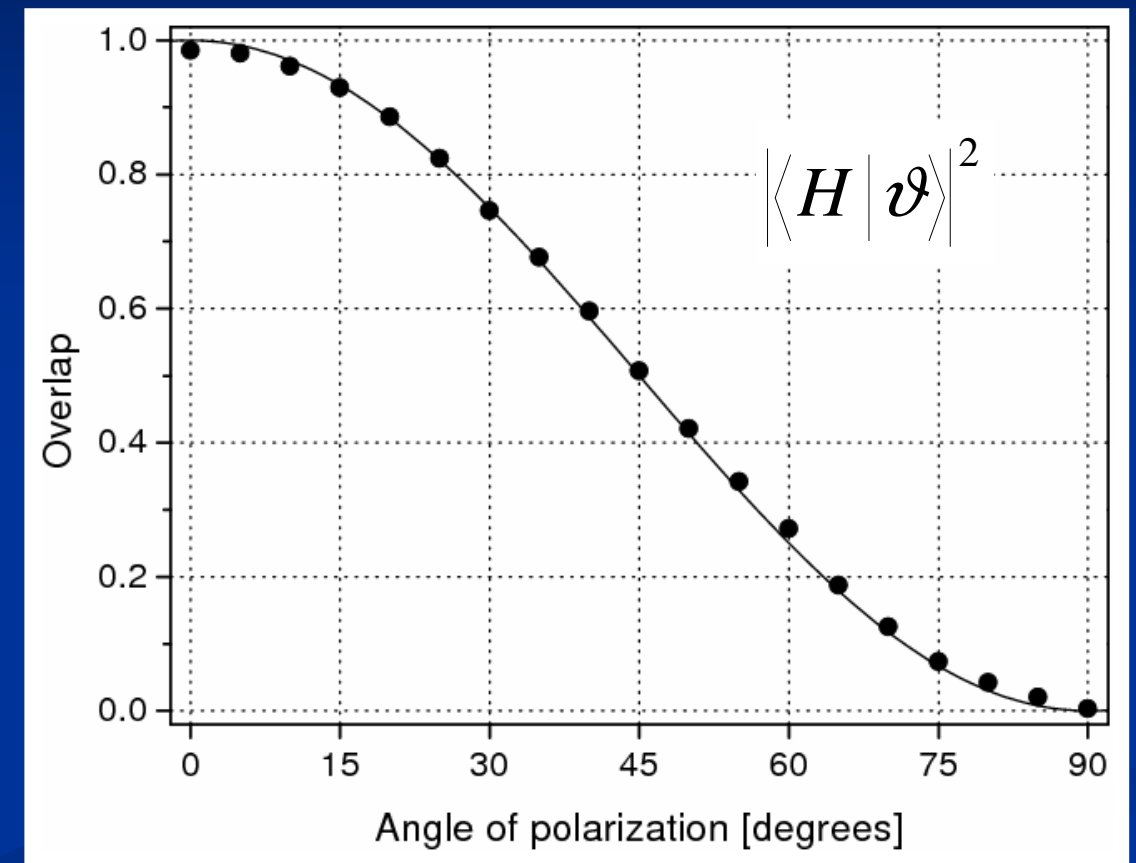
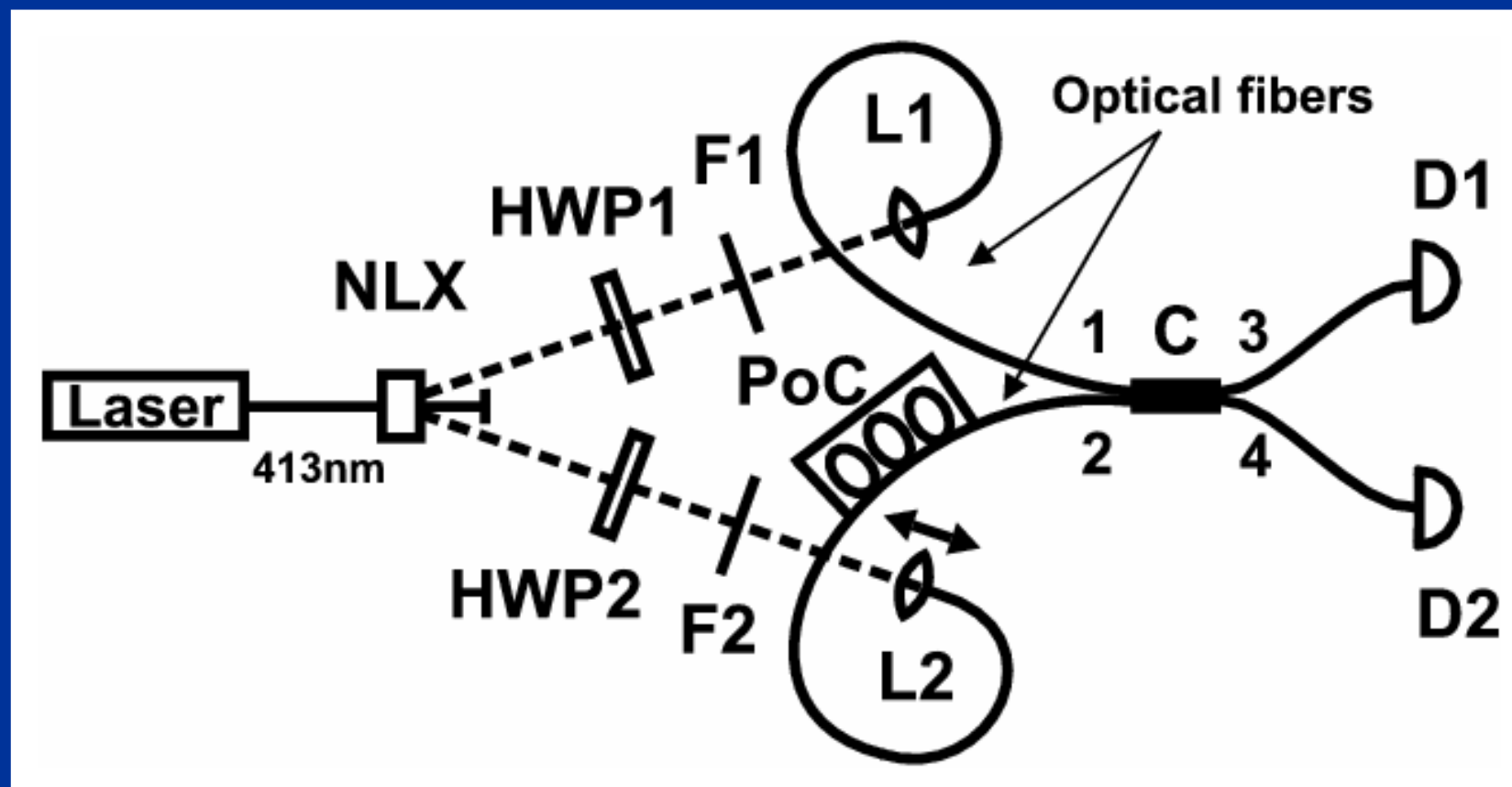
M. Hendrych, M. Dušek, R. Filip, J. Fiurášek, Phys. Lett. A **310**, 95 (2003).

$$\text{Tr}(V \rho_A \otimes \rho_B) = \text{Tr}(\rho_A \rho_B)$$

$$V = \Pi^+ - \Pi^-$$

dva qubity: $\Pi^- = |\Psi^-\rangle\langle\Psi^-|$, $\Pi^+ = 1 - \Pi^-$

$$|\Psi^-\rangle = \frac{1}{\sqrt{2}} (|H\rangle_A |V\rangle_B - |V\rangle_A |H\rangle_B)$$



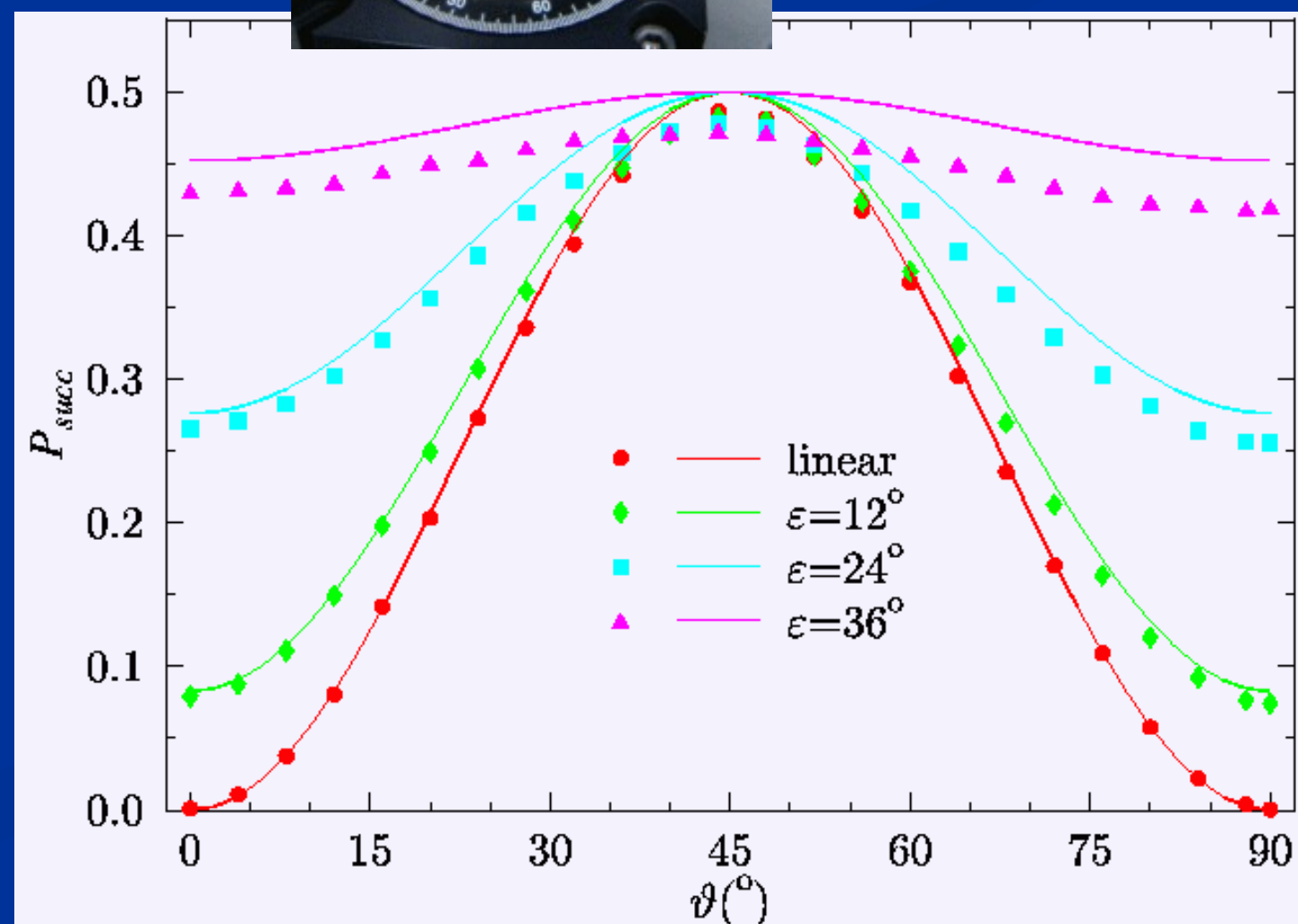
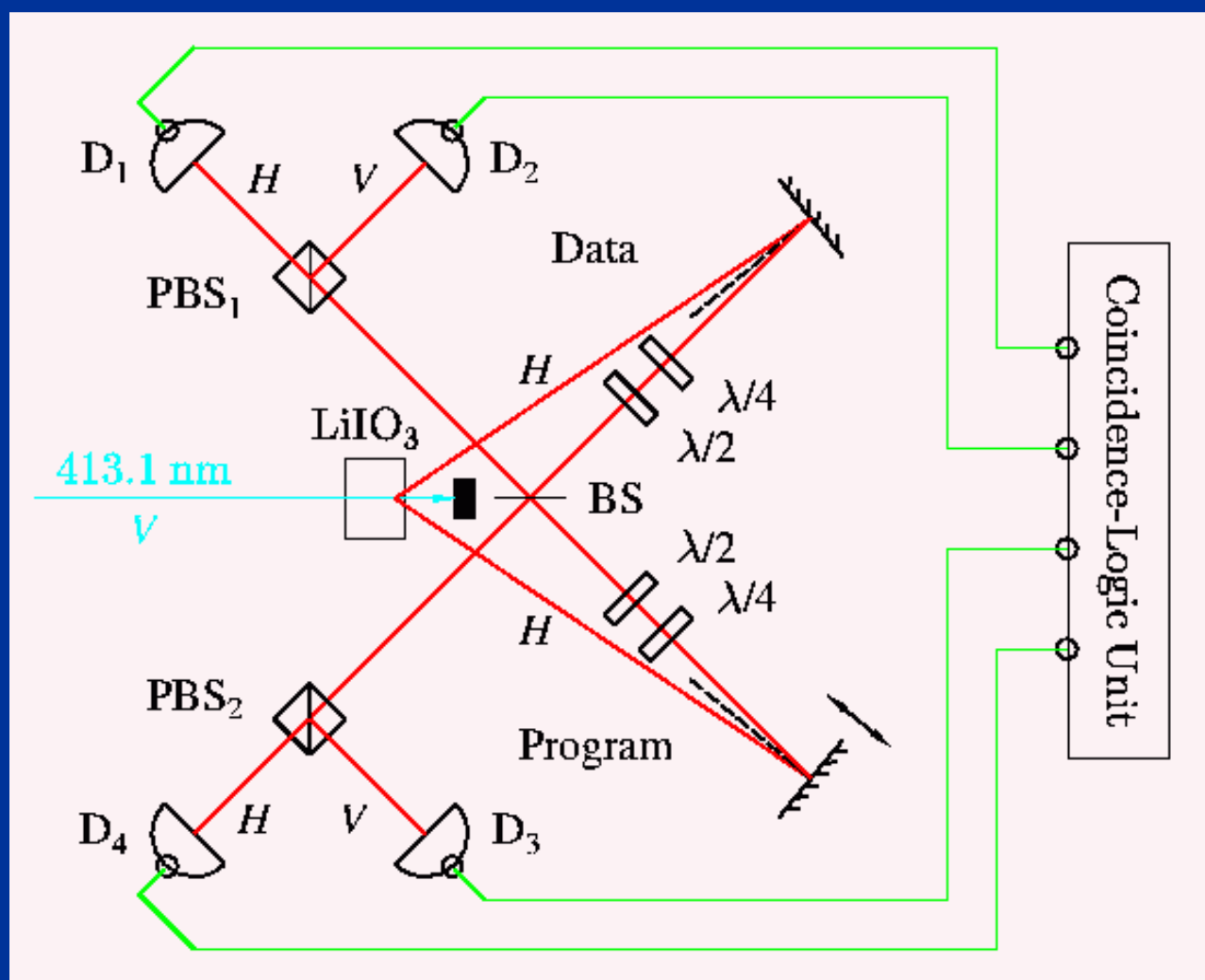
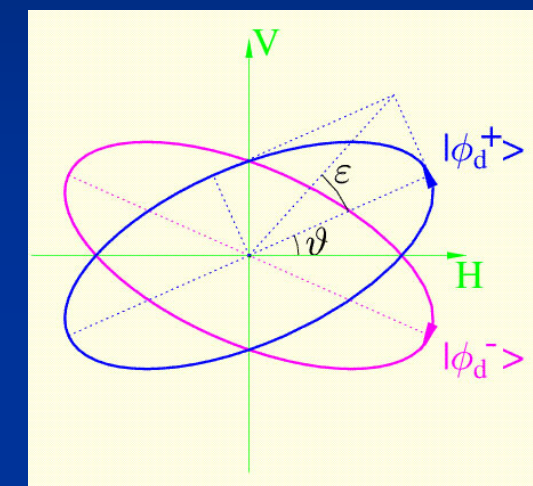
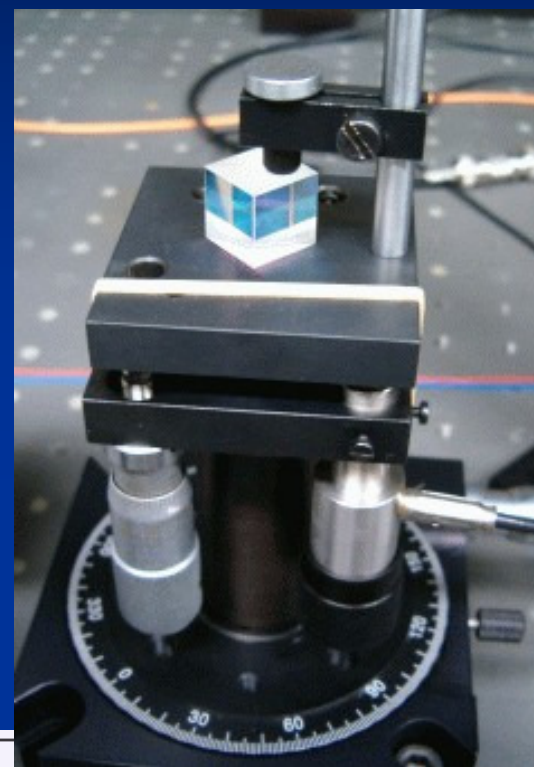
Programovatelný diskriminátor kvantových stavů

J. Soubusta, A. Černochoch, J. Fiurášek, M. Dušek, Phys. Rev. A 69, 052321 (2004).

Umožňuje rozlišit dva neortogonální stavy v závislosti na „programu“:

Data: $|\phi_d^\pm\rangle = a|H_d\rangle \pm b|V_d\rangle$

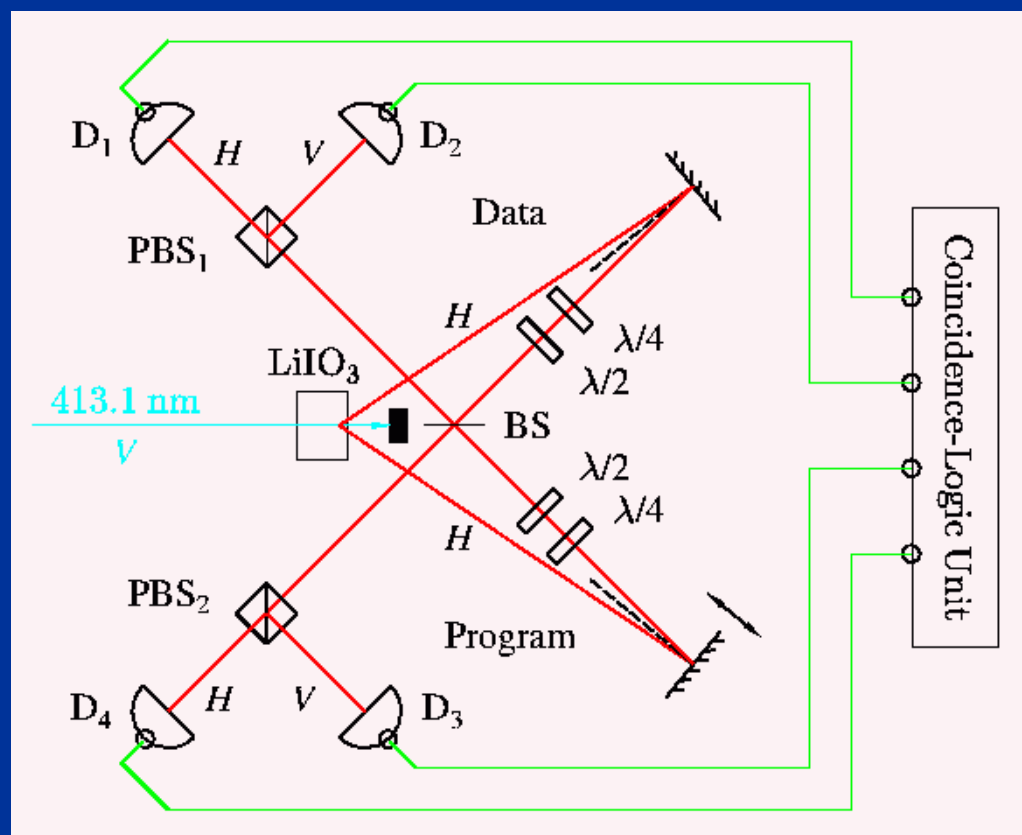
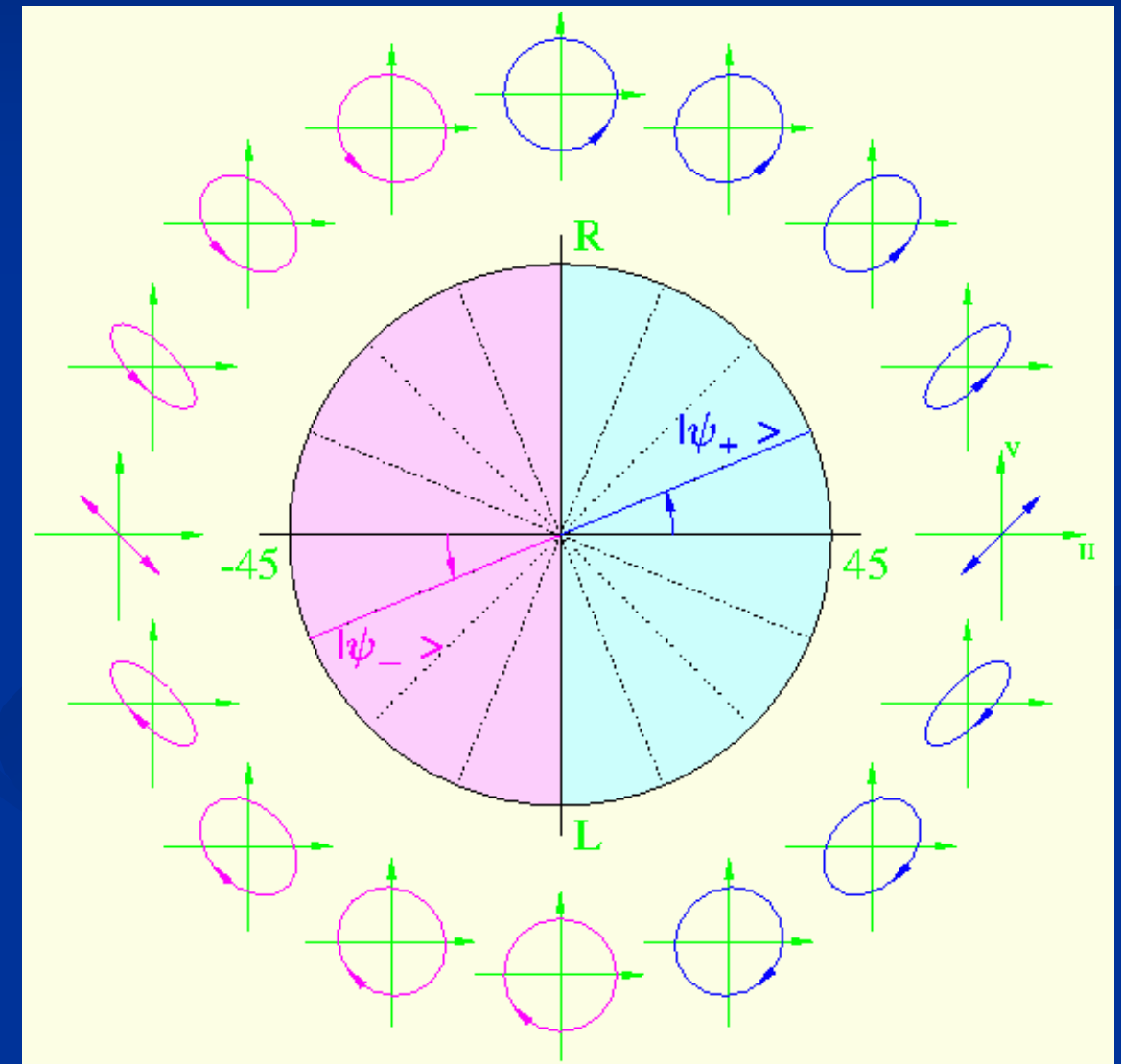
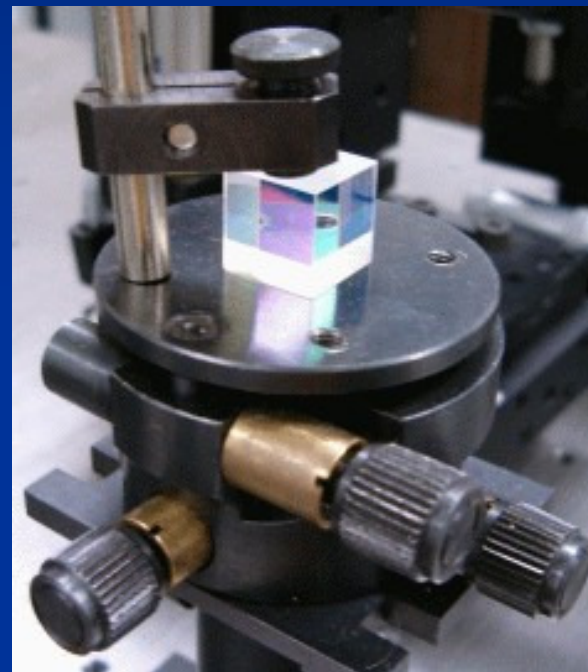
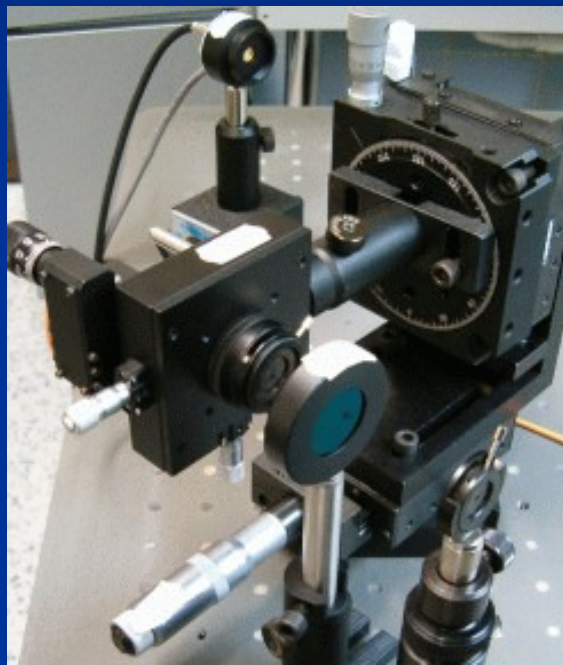
Program: $|\phi_p\rangle = a|H_p\rangle + b|V_p\rangle$



Fázově kovariantní kvantový multimetr

J. Soubusta, A. Černochoch, J. Fiurášek, M. Dušek, Phys. Rev. A 69, 052321 (2004).

Stav programového qubitu určuje měřicí bazi pro datový qubit

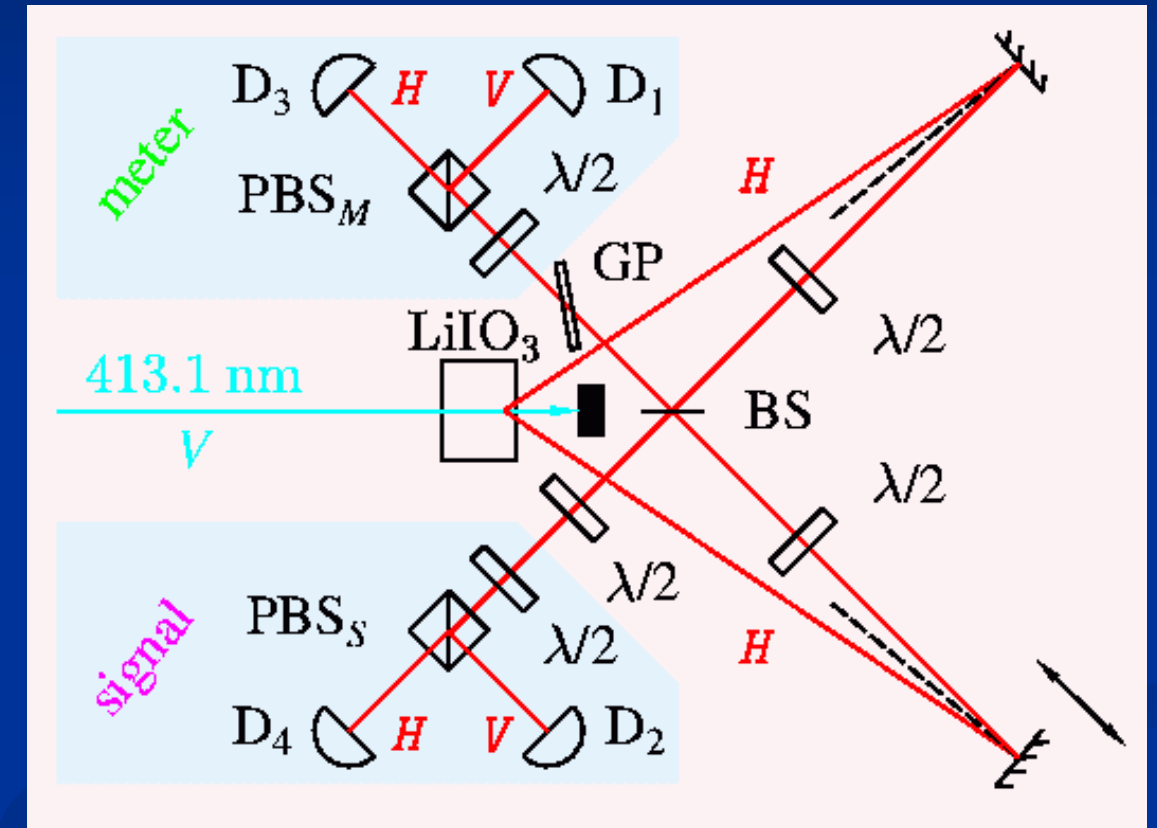


Jak kvantové korelace zlepšují předpovědi pro komplementární měření

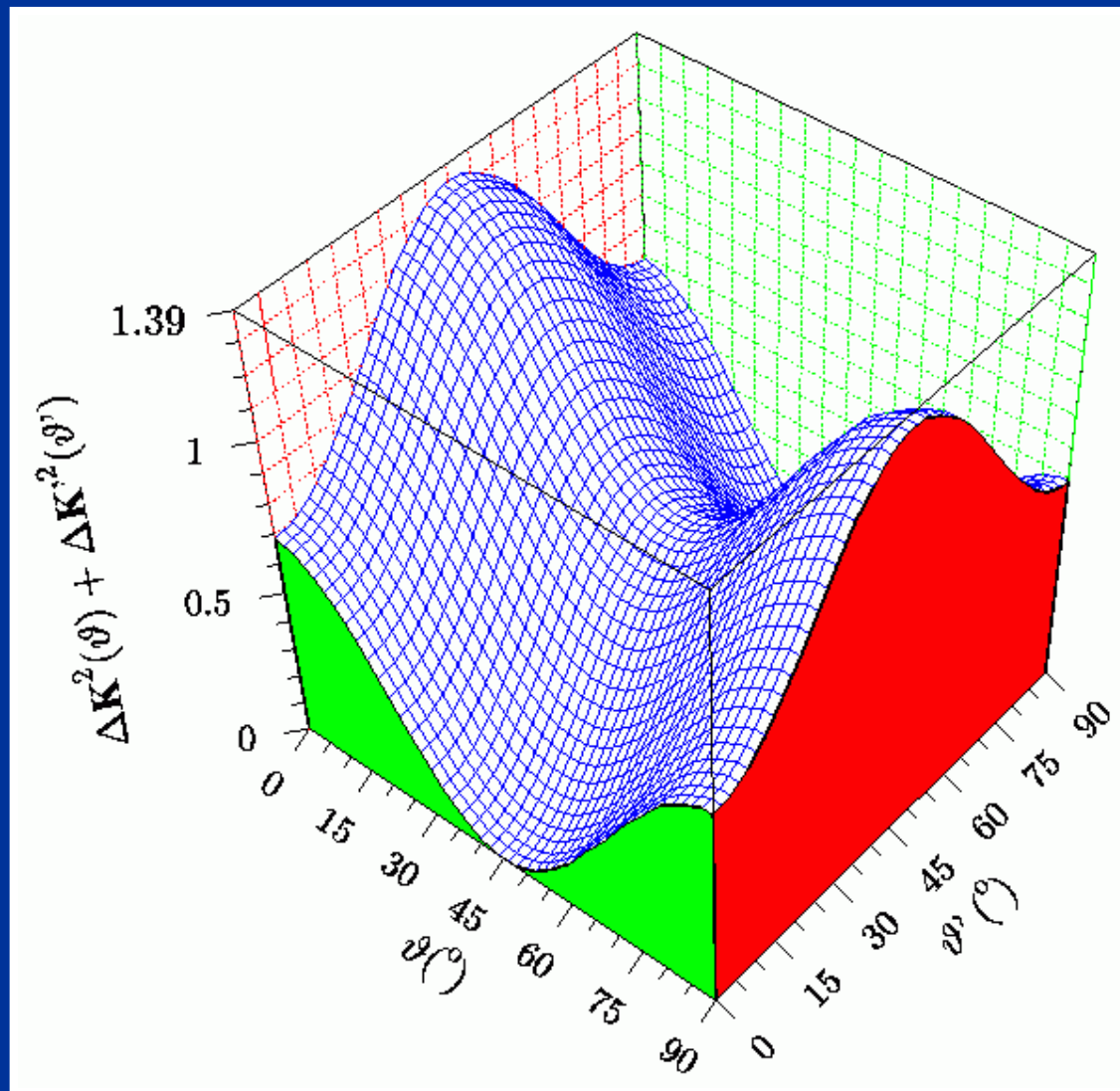
R. Filip, M. Gavenda, J. Soubusta, A. Černocho, M. Dušek, Phys. Rev. Lett. **93**, 180404 (2004).

$$\Delta K^2(\Pi_M \rightarrow \Pi_S) + \Delta K^2(\Pi'_M \rightarrow \Pi'_S) \leq \left(\frac{B_{\max}}{2} \right)^2$$

$$B_{\max} = \max_{\vec{n}_1, \vec{n}_2} \text{Tr} \left[\rho(\vec{n}_1 \cdot \hat{\sigma}_1)(\vec{n}_2 \cdot \hat{\sigma}_2) \right]$$

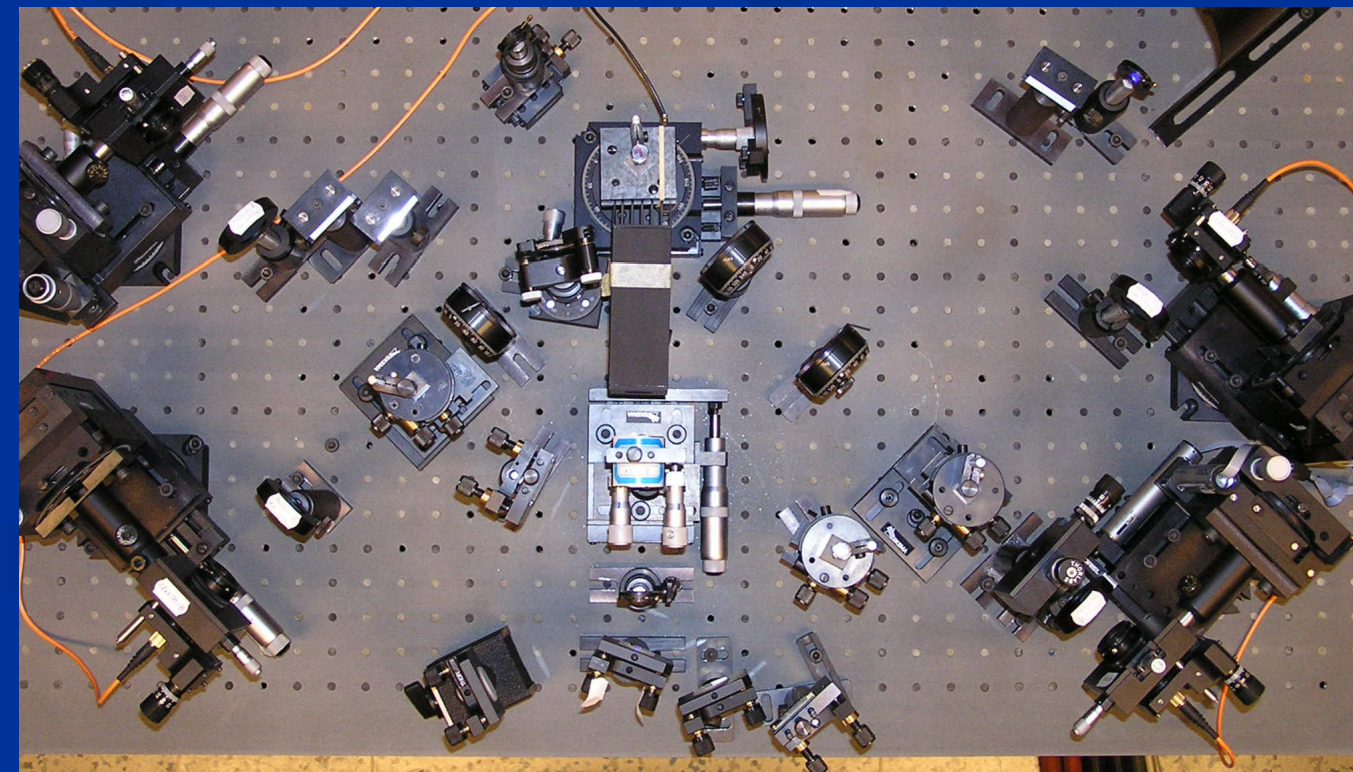


Měření pro
Wernerův
stav



$p \approx 0.82$

$B_{\max} = 2.36$



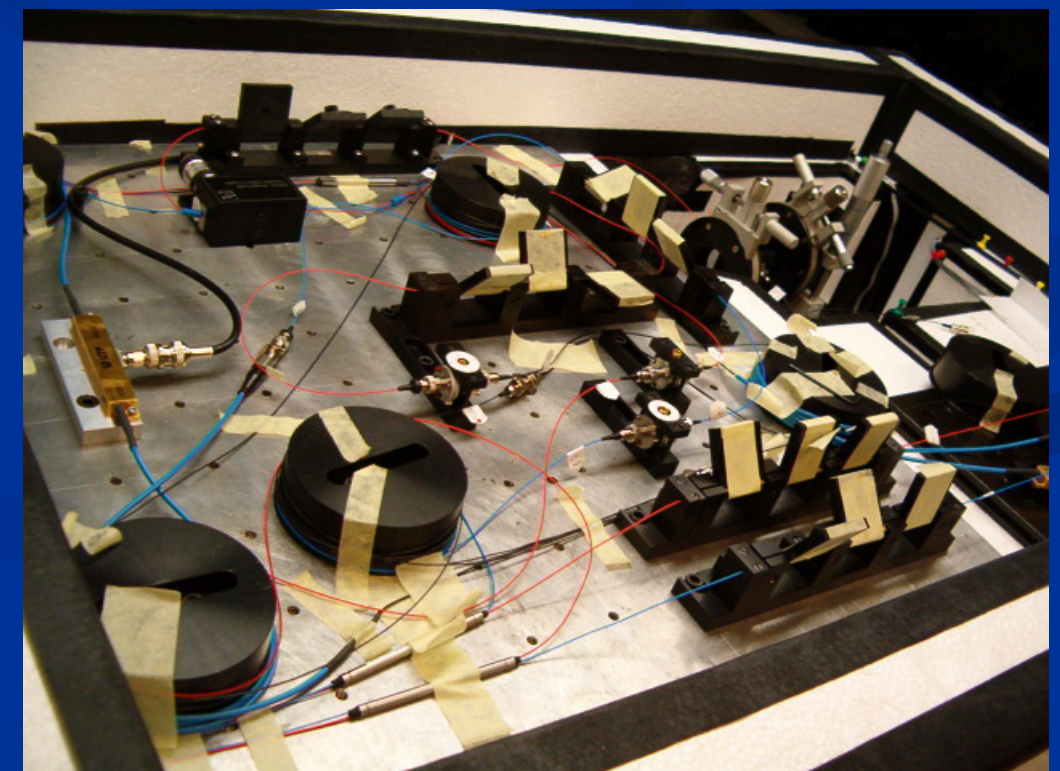
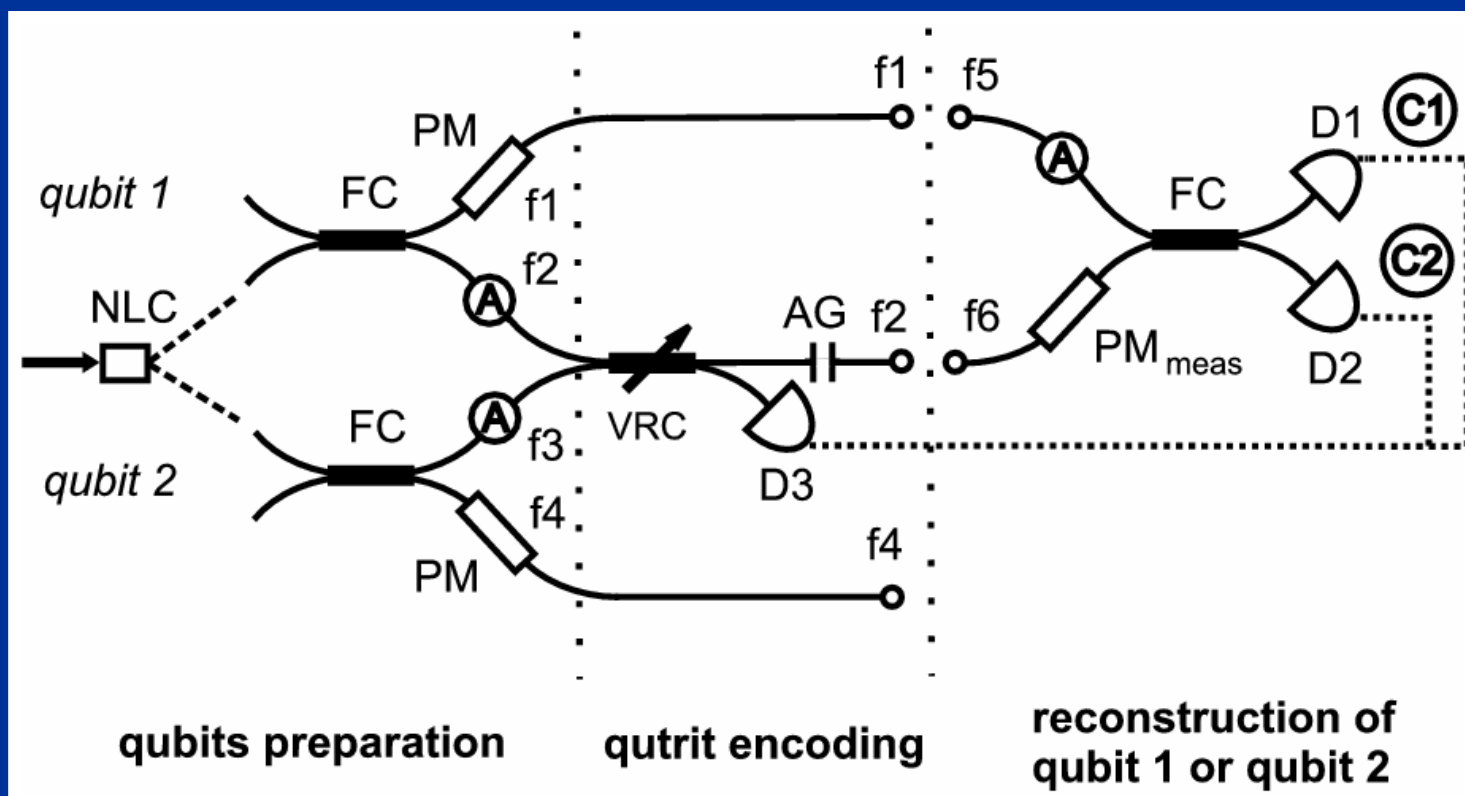
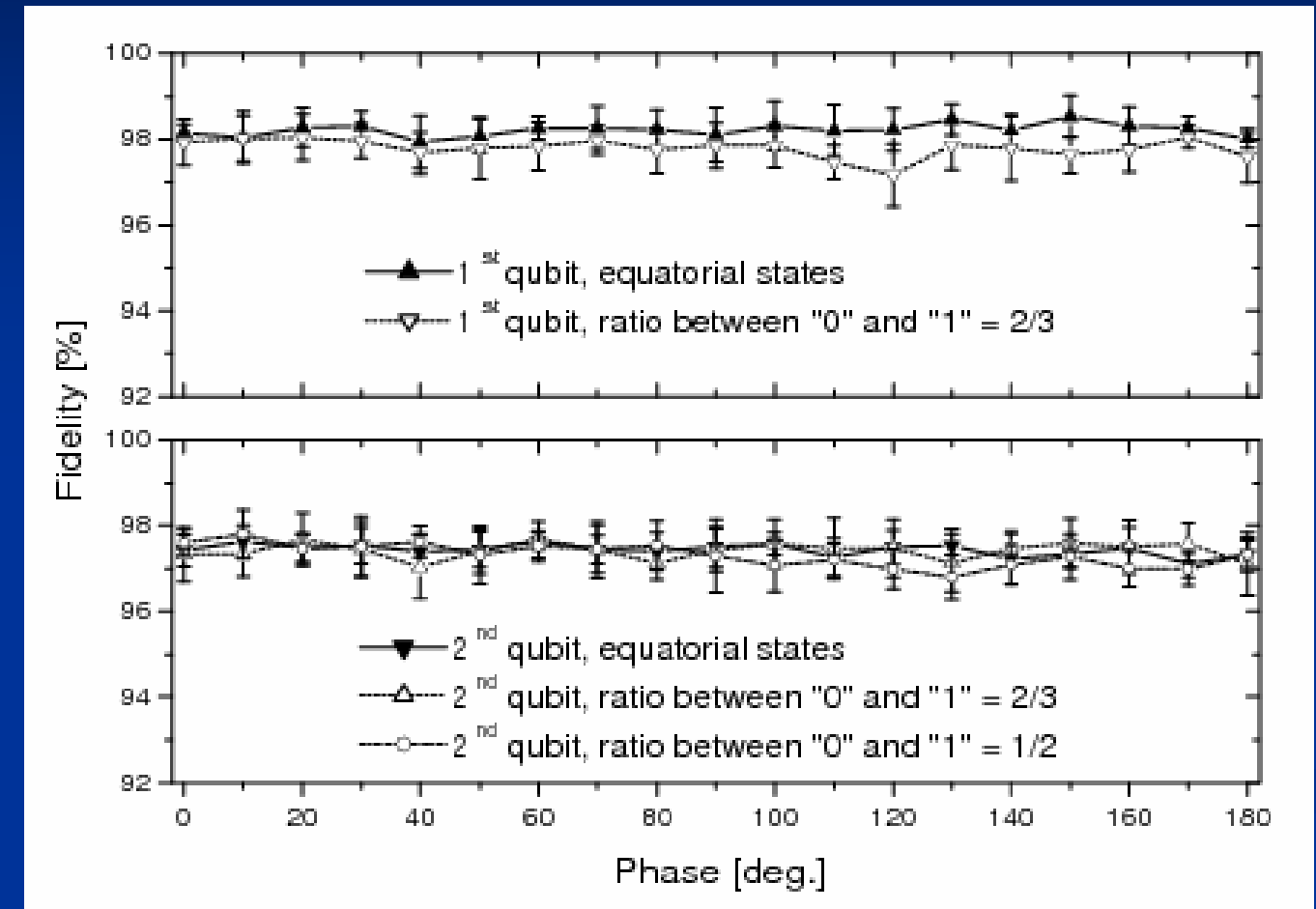
Kódování dvou qubitů na jeden qutrit

L. Bartůšková, A. Černocho, R. Filip, J. Fiurášek, J. Soubusta, M. Dušek,
 Phys. Rev. A 74, 022325 (2006).

$$\left. \begin{aligned} |\Psi_1\rangle &= \alpha_1 |0\rangle_1 + \beta_1 |1\rangle_1 \\ |\Psi_2\rangle &= \alpha_2 |0\rangle_2 + \beta_2 |1\rangle_2 \end{aligned} \right\} |\Psi_1\rangle \otimes |\Psi_2\rangle$$

$$|\Phi\rangle = \frac{1}{\sqrt{N}} \left(\alpha_1 \alpha_2 |0\rangle + \alpha_1 \beta_2 |1\rangle + \beta_1 \beta_2 |2\rangle \right)$$

$|0\rangle_1 |0\rangle_2$ $|0\rangle_1 |1\rangle_2$ $|1\rangle_1 |1\rangle_2$
 \Downarrow \Downarrow \Downarrow

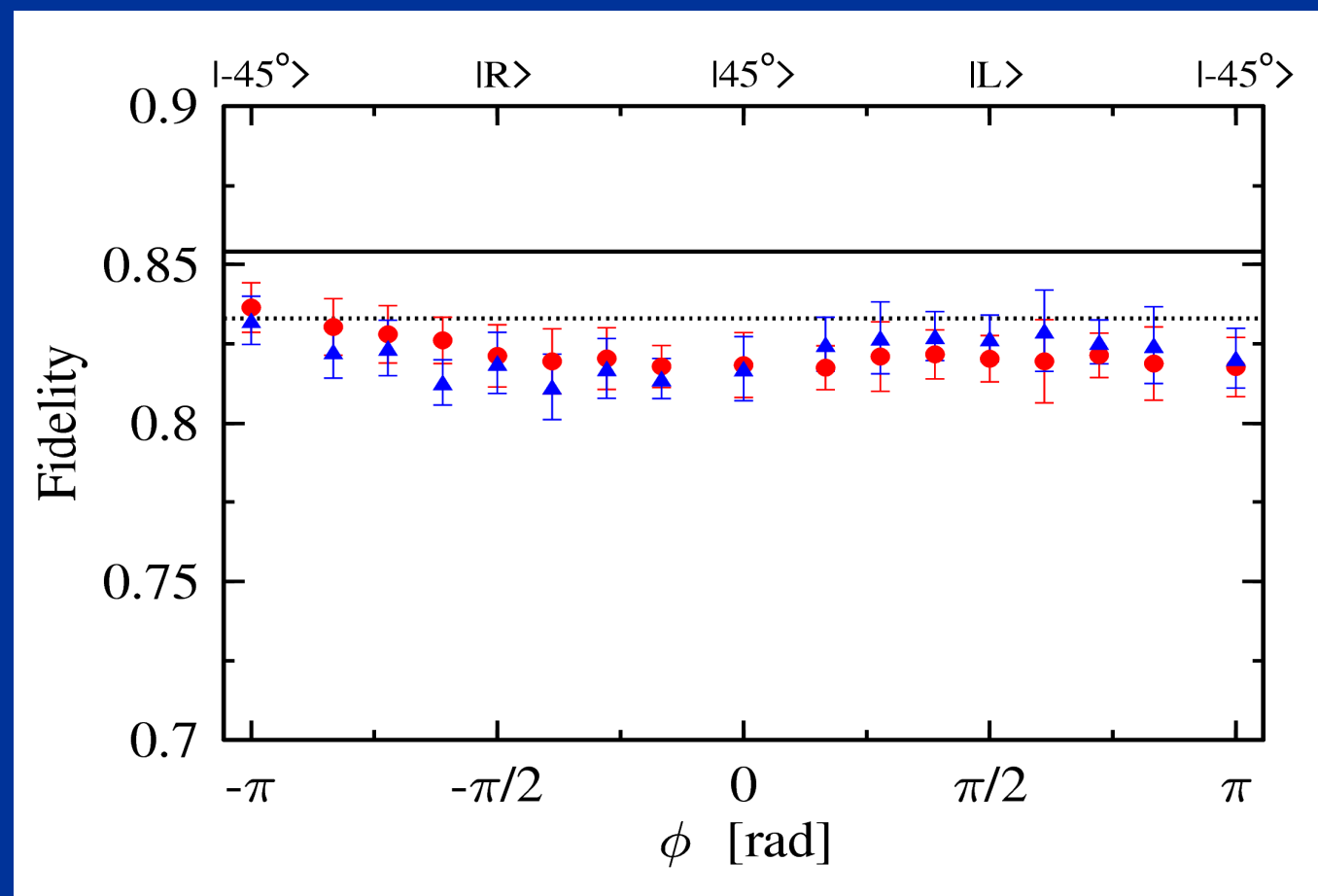


Fázově kovariantní klonování polarizačního stavu fotonu

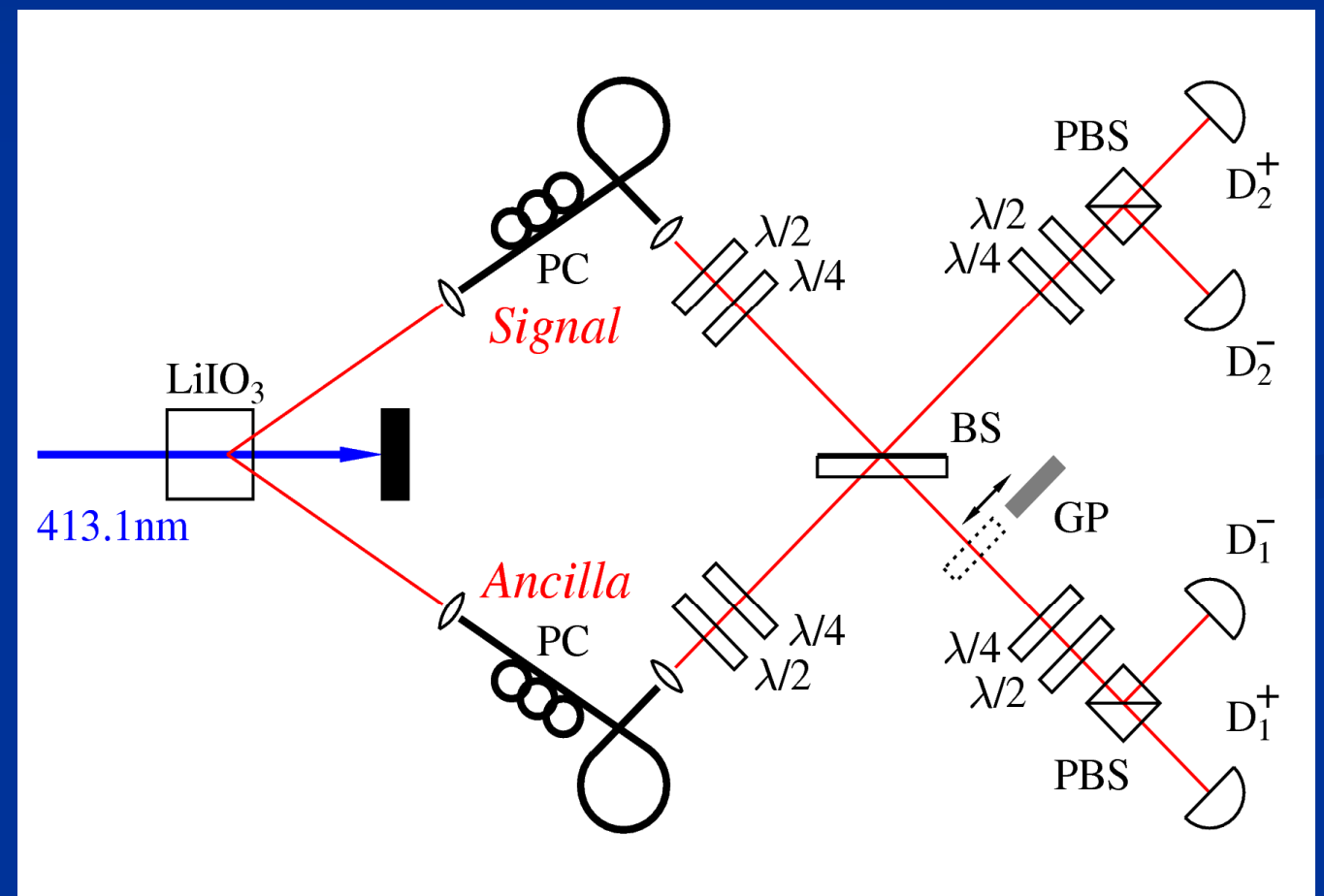
A. Černocho, L. Bartůšková, J. Soubusta, M. Ježek, J. Fiurášek, M. Dušek,
 Phys. Rev. A 74, 042327 (2006).

Z originálu vytvořit dva co
 nejpresnější klony ($F_{\text{teor}} = 85.4\%$)

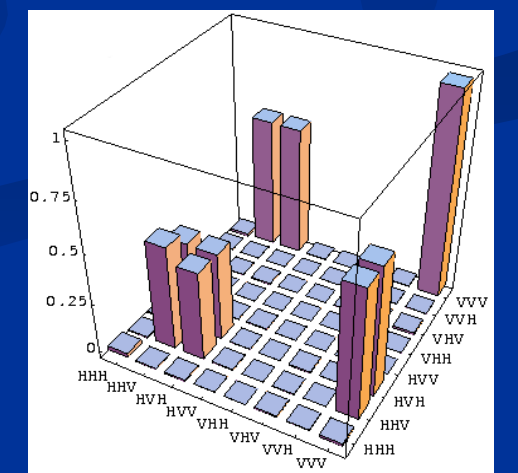
$$|\psi\rangle = \frac{1}{\sqrt{2}} (|V\rangle + e^{i\phi} |H\rangle)$$



Dělič svazku: 80:20 pro vert.,
 20:80 pro horiz. polarizaci

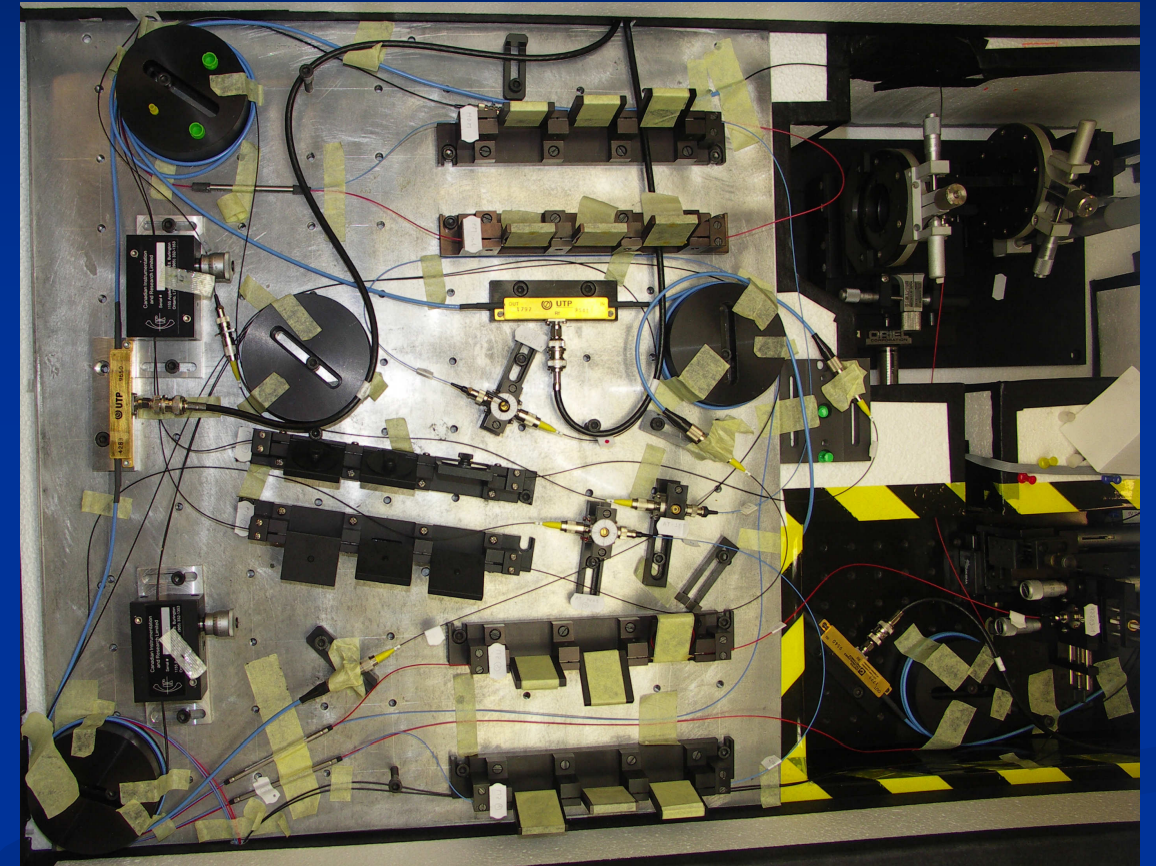
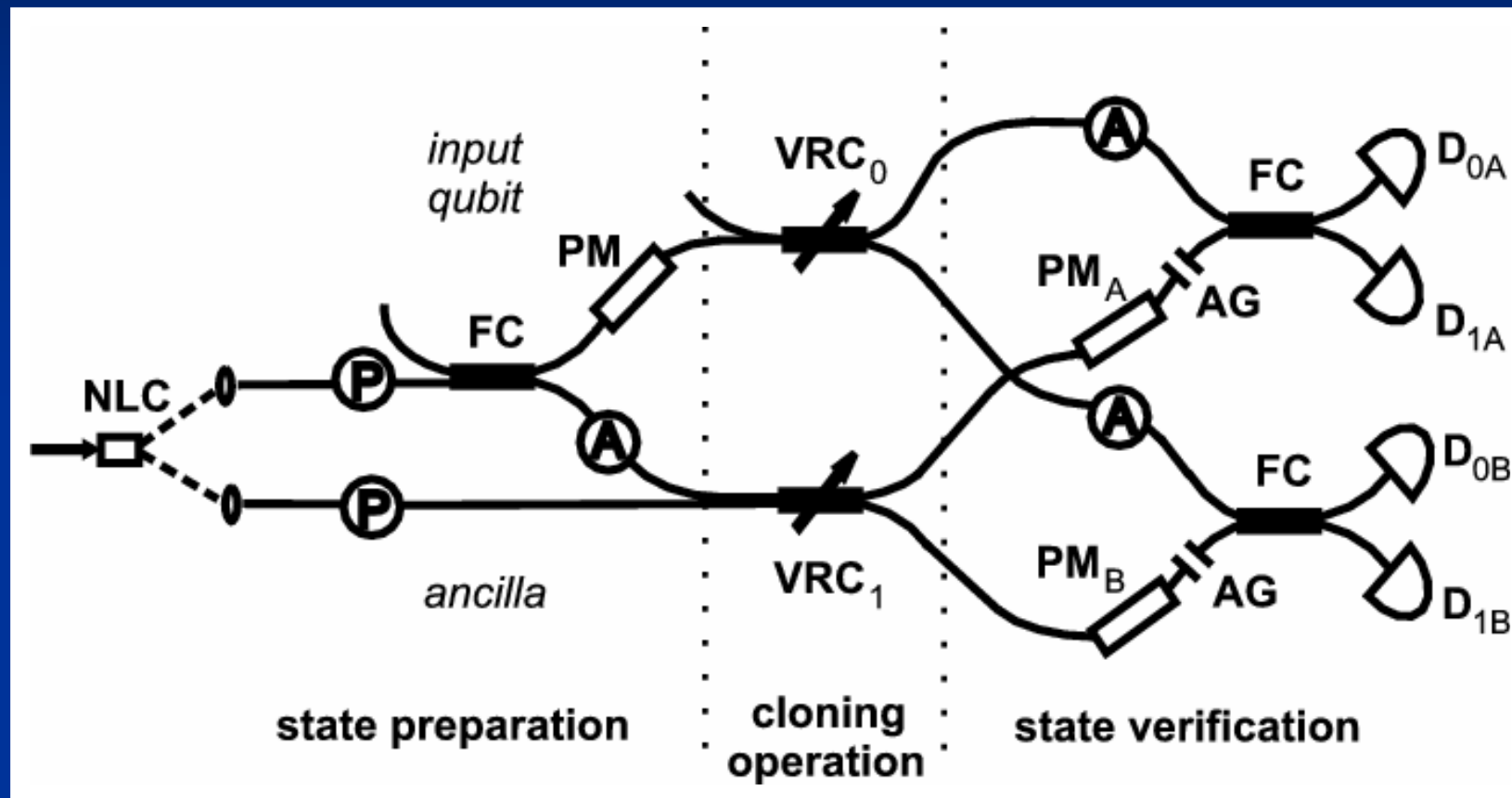


Tomografie procesu:
 Fidelita = 94 %



Asymetrické fázově kovariantní klonování s optickými vlákny

L. Bartůšková, M. Dušek, A. Černocho, J. Soubusta, J. Fiurášek, zasláno do Phys. Rev. Lett.



$$|0\rangle \rightarrow |00\rangle$$

$$|1\rangle \rightarrow \sqrt{q}|01\rangle + \sqrt{1-q}|10\rangle$$

$q \in [0,1]$ je parametr asymetrie

$$F_1 = \frac{1}{2}(1 + \sqrt{q})$$

$$F_2 = \frac{1}{2}(1 + \sqrt{1-q})$$

